

本州四国連絡橋公園 正員 林 有一郎  
○ ○ 村田正信

### 1. まえがき

吊橋においては、完成時のみならず、架設中のブレッターライン現象に対する耐風安定性を確認しなければならない。そのため吊橋のねじれ振動解析は最も重要な役割を担う。従来のねじれ振動解析の例としては、Bleich<sup>(1)</sup>、Selberg, Reissner, 白木他<sup>(2)</sup>等の研究がある。前二者においては、完成系での取扱いであり、エネルギー法による解法とは、異なる。白木他の解析では、架設中の振動解析も可能であるが、これらの解析に通じて、桁の剛性の評価、あるいは、モデル化に不十分な点が見受けられる。本解析によれば、桁の剛性と、ウラソフの薄肉箱構造に対する手法を用いて求め、引張部材に対する剛性マトリックスと組み合せるこにより、架設中を含めた種々の設計要素に対応する吊橋のねじれ振動解析を行なおうとするものである。解析上の仮定は、次の通りである。  
 【仮定1】全体系として、鉛直、横曲げ振動とねじれ振動は、達成しない。  
 【仮定2】桁断面の格美は、解析上せん断中心とし、断面は2軸対称とするが、モデル化を行う際は、面主構上弦材中间点とする。  
 【仮定3】桁の橋軸方向およびバイモーメント慣性力は考慮しない。  
 【仮定4】トラスの断面は剛である。  
 【仮定5】外荷重は各格美に集中して作用するものとし、ランプドスとして取扱う。

### 2. 補剛トラスの剛性マトリックス

トラスと薄肉箱構造に置き換えてウラソフによる手法を適用してねじれ解析を行なうことができる。ウラソフによると箱構造に関するねじれの基礎方程式は、一般化されたモリを  $U$ 、ねじれ角を  $\theta$ 、一般化されたずれ角(断面のせん断変形)を  $X$  とすると、表-1 のようになる。但し、これらの変位は左手系で表わされる。

ねじれモーメントを  $Q$ 、  
 繊方向バイモーメント<sup>(3)</sup>  
 を  $B$ 、横方向バイモーメント  
 を  $R$  とすると、 $B$ 、  
 $Q$ 、 $R$  は表-2 の様にな  
 る。式(1)～(3)が式(4)～(6)  
 のいかなる形に対しても  
 満足されようとしている。

表-2	
$B = -aU'$	(4)
$Q = b_2 U + b_1 \theta' + b_2 X'$	(5)
$R = b_1 U + b_2 \theta' + b_1 X'$	(6)

表-3	
$U = f'$	(7)
$\theta = -\frac{ab_1}{cb_2} f''' + \frac{a}{b_2} f'' - \frac{b_1}{b_2} f$	(8)
$X = \frac{a}{c} f^{(4)}$	(9)

$\theta(x)$ 、 $X(x)$  を表わすと表-3 のようになる。今【仮定4】により  $C \rightarrow \infty$  とすれば、式(7)～(9)を式(2)に代入して  $f(x)$  に関する微分方程式、および  $B$ 、 $\theta$ 、 $B$ 、 $Q$  に関する表示は、表-4 のようになる。  
 式(10)の一般解と式(11)～(15)に対する境界条件から表-5 の剛性方程式が得られる。但し式は左手系に直してあり、節点力、変位の正の方向は図-1 のよう規定される。ケーブル、ハンガーのトラス軸力部材の剛性方程式は、表-6 に示すとおりである。<sup>(5)</sup>

### 3. 刚性方程式の変換

吊橋系での未知変位を次のようになると、変位の方向は、図-1 に示す。

表-1

$$aU'' - b_1 U - b_2 \theta' - b_1 X' = 0 \quad (1)$$

$$b_2 U' + b_1 \theta'' + b_2 X'' = 0 \quad (2)$$

$$b_1 U' + b_2 \theta'' + b_1 X'' - CX = 0 \quad (3)$$

ここで下図の箱桁断面に対して

$$a = EA_c \cdot b^2 h^3/4$$

$$b_1 = G(t_1 b + t_2 h) b h / 2$$

$$b_2 = G(t_1 b - t_2 h) b h / 2$$

C; 箱桁断面の一般化された断面剛性

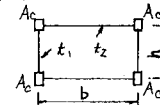


表-4

$$f''' - \frac{b_2^2}{l^2} f'' = 0 \quad (10)$$

ここで  $l$  を格美間距離として

$$b_2^2 = \frac{GJ}{a} l^2$$

$$GJ = (b_1^2 - b_2^2) / b_1 \quad \} \quad (11)$$

$$Q = -\frac{1}{b_2} ((b_1^2 - b_2^2) f' - ab_1 f''') \quad (12)$$

$$B = -af'' \quad (13)$$

$$\theta = -\frac{1}{b_2} (b_1 f - af'') \quad (14)$$

$$X = f' \quad (15)$$

$$\begin{array}{l} \text{右側ケーブル変位} \\ \left\{ \begin{array}{l} \xi_d^r, \eta_d^r \end{array} \right\} \\ \text{左側ケーブル変位} \\ \left\{ \begin{array}{l} \xi_d^l, \eta_d^l \end{array} \right\} \\ \text{桁変位} \\ \left\{ U_i, \theta_i \right\} \end{array}$$

桁、ケーブルの剛性方程式は上記変位に対応して表-5、表-6によりて示される。ハンガーの剛性方程式は基本的には、式(17)で与えられるが、桁の変位、断面力と結びつけると結局表-7によつて与えられる。但し、式(18)はケーブル側をa端、桁側をb端として示してある。

#### 4. 鈎合式

力の鈎合は図-2に沿り表-8のようになつた。ここに添字r、lは右側、左側と示している。又ケーブル格架での鈎合は、片側当りと、桁格架での鈎合は、一橋当りを示してある。

#### 5.まとめ

この解析では、吊橋の1断面あたり

6自由度であるが、バティモーメント

の慣性力を無視するので5自由度となる。左右ケーブルが逆位相、等変位を生じるとすれば、2自由度、ケーブルの橋軸方向慣性力を無視すれば、2自由度となる。更にケーブル鉛直変位 $\eta$ と、桁回転変位 $\theta$ との関係を、 $\eta = \frac{d}{2}\theta$ とす

る二つにして、1自由度とすることができる。この1自由度に対して計算した結果と撓度理論とBleich理論と組み合わせて方法によつて計算した結果と表-9に示す。本解析法によつて大変形プログラムと組み合わせることによつて架設中の解析ができる。その他、センタースティの効果、張り出し形式の吊橋等種々の状態でのねじれ振動解析が可能である。

表-9 固有振動数(スパン270-1100-270m、3径間連続吊橋、セクタ1)

次 数	1	2	3	4	5
本 理 論	0.240	0.288	0.432	0.560	0.596
撓 度 理 論	0.238	0.296	0.448	0.590	0.640

参考文献(1) F. Bleich他 "The mathematical theory of vibration in suspension bridges" (2) 白木、田中他 "長大吊橋補剛桁架設時の耐風安定性" 三菱重工技報 Vol.7, No.7, 1970 (3) V.Z. Vlasov著 奥村敏夫他訳 "薄肉弾性ばかりの理論" 1967 技報堂 (4) 林、樋口、田中 "薄肉梁理論によるトラスの立體解析法" 土木学会第29回年次学術講演会 (5) 林 "吊橋の撓度理論における基礎方程式の考察" 土木学会第29回年次学術講演会

表-5	$k_{11} = GJ \frac{l}{k} \frac{k - (\frac{b_2}{b_1})^2 \tanh k}{k \tanh k - 2(\frac{b_2}{b_1})^2 (1 - \operatorname{sech} k)}$
$\{dF^s\} = [k_s^s] \{dx^s\}$ (16)	$k_{21} = GJ \frac{b_2}{b_1} \frac{1 - \operatorname{sech} k}{k \tanh k - 2(\frac{b_2}{b_1})^2 (1 - \operatorname{sech} k)}$
$\{dx^s\} = [U_a, \theta_a, U_b, \theta_b]^T$	$k_{22} = GJ \frac{l}{k} \frac{1}{1 - \frac{2}{k} (\frac{b_2}{b_1})^2 (\coth k - \operatorname{sech} k)}$
$[k_s^s] = \begin{bmatrix} k_{21} & k_{22} & \text{sym} \\ k_{21} & k_{22} & k_{11} \\ k_{21} & k_{22} & k_{11} \\ -k_{21} & -k_{22} & k_{11} \end{bmatrix}$	$k_{31} = GJ \frac{l}{k} \frac{(\frac{b_2}{b_1})^2 - k \operatorname{sech} k}{k - 2(\frac{b_2}{b_1})^2 (\coth k - \operatorname{sech} k)}$

表-7	表-6
$\{dF^c\} = [R_1] [k^c] [R_1] \{dx^c\}$ (18)	$\{dF^c\} = [k^c] \{dx^c\}$ (17)
$\{dF^c\} = [LHa, Va, Hb, Vb]^T$	$\{dF^c\} = [LHa, Va, Hb, Vb]^T$
$\{dx^c\} = [E_a, \eta_a, U_b, \theta_b]^T$	$\{dx^c\} = [E_a, \eta_a, E_b, \eta_b]^T$
$[R_1] = \begin{bmatrix} 1 & & & \\ & 1 & 0 & \\ & & \pm \frac{dh}{4} & \\ 0 & & & \mp \frac{d}{2} \end{bmatrix}$	$[k^c] = \begin{bmatrix} K & -K \\ -K & K \end{bmatrix}$
左側 +, - ; 右側 - , + ; 左側	$[K] = \begin{bmatrix} fl^2 + gm^2 & (t-g)lm \\ (t-g)lm & fm^2 + gl^2 \end{bmatrix}$

$$f = \frac{AE}{Z_0}, g = \frac{T}{Z}, l = \cos \alpha, m = \sin \alpha$$

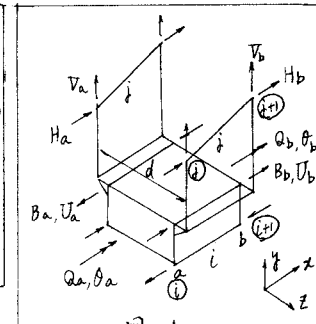


図-1

表-8	(19)
$H_{j+b}^Y + H_{j+a}^Y + H_{ba}^{HR} + M_c \ddot{\eta}_j^Y = 0$	$H_{j+b}^Y + H_{j+a}^Y + H_{ba}^{HL} + M_c \ddot{\eta}_j^Y = 0$ (20)
$V_{j+b}^r + V_{j+a}^r + V_{ba}^{HR} + M_c \ddot{\eta}_j^r = 0$ (21)	$V_{j+b}^r + V_{j+a}^r + V_{ba}^{HL} + M_c \ddot{\eta}_j^r = 0$ (22)
$B_{i+b} + B_{i+a} + B_{ab}^{HR} + B_{ab}^{HL} = 0$ (23)	$Q_{i+b} + Q_{i+a} + Q_{ab}^{HR} + Q_{ab}^{HL} + I_p \ddot{\theta}_i = 0$ (24)

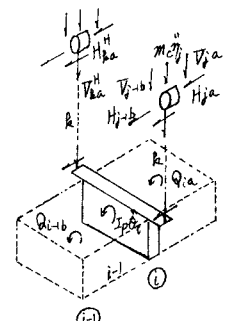


図-2